

07

© 1991 г.

**ПРОПУСКАНИЕ И ОТРАЖЕНИЕ  
ДИЭЛЕКТРИЧЕСКИМ КЛИНОМ  
ЭЛЛИПТИЧЕСКОГО ГАУССОВА ПУЧКА  
ПРИ НАКЛОННОМ ПАДЕНИИ И РЕЗОНАНСЫ ПРОСВЕТЛЕНИЯ  
ОПТИЧЕСКОГО РЕЗОНАТОРА С ПРОЗРАЧНОЙ ПЛАСТИНКОЙ**

*B. N. Смирнов, Г. А. Строковский*

Экспериментально исследовано влияние величины и ориентации клина прозрачной пластиинки на интенсивность генерации в резонаансах просветления оптического резонатора. Экспериментальные результаты удовлетворительно объяснены теоретически учетом двухлучевой интерференции гауссовых пучков, расщепленных пластиинкой с клином.

### Введение

Стеклянным пластинкам свойственна некоторая клиновидность, которая более существенна для прохождения гауссова пучка, чем для плоской волны, вследствие его пространственной локализации. Пропускание гауссова пучка диэлектрическим клином рассматривалось, например, в [1-3]. Однако в [1] клин был взят в модели тонкого фазового слоя (без учета потерь на отражение), что представляется чрезмерно упрощенным и непригодным даже как первое приближение для описания работы пластиинки с клином в оптическом резонаторе. В [2] не учитывалась конечная кривизна фазового фронта пучка, а более общее решение задачи в [3] неудобно для наглядного физического анализа.

В данной работе экспериментально исследовано влияние ориентации и величины малого (с углом менее  $1'$ ) клина прозрачной пластиинки на генерацию в резонаансах просветления кольцевого газового лазера, в частности на порог генерации и анизотропию потерь. Теоретически проанализированы пропускание и отражение эллиптических эрмит-гауссовых пучков в диэлектрическом клине при наклонном падении с учетом многократных отражений на границах раздела. Экспериментальные результаты согласуются с предложенной интерпретацией потерь на отражение, вносимых наклонной стеклянной пластиинкой с клином в лазерном резонаторе, в частности, обнаружена и объяснена существенная зависимость влияния клина от расстояния пластиинки до шейки каустики.

### Экспериментальное исследование влияния стеклянной пластиинки с клином на генерацию в кольцевом газовом лазере

Экспериментальные исследования проводились в кольцевом Не—Не лазере на длине волны  $\lambda=0.63$  мкм на модах прямоугольной апертуры  $TEM_{00}$ , 10 (ось  $Z$  декартовой системы координат совпадает с направлением распространения пучка, оси  $X$ ,  $Y$  лежат в плоскости резонатора и ортогонально ей). В резонатор лазера, аналогичный [4], образованный сферическим  $Z$  и двумя плоскими  $Z$  зеркалами (рис. 1, a), на расстоянии  $z_p=270$  мм (или 400 мм) от плоскости шейки каустики ( $z=0$ , размеры пучка в шейке  $w_{0x}=204$  мкм,  $w_{0y}=240$  мкм)

устанавливалась стеклянная пластинка 3 толщиной  $l=1.3-6$  мм (с клином и без клина). Для генерации линейно поляризованного вдоль оси  $Y$  излучения использовались кюветы 4 с усиливающей средой с окошками Брюстера, частотное расщепление встречных волн невзаимным элементом 5 составляло  $\approx 20$  кГц. На фотоприемнике 6 по одному из направлений луча в резонаторе:

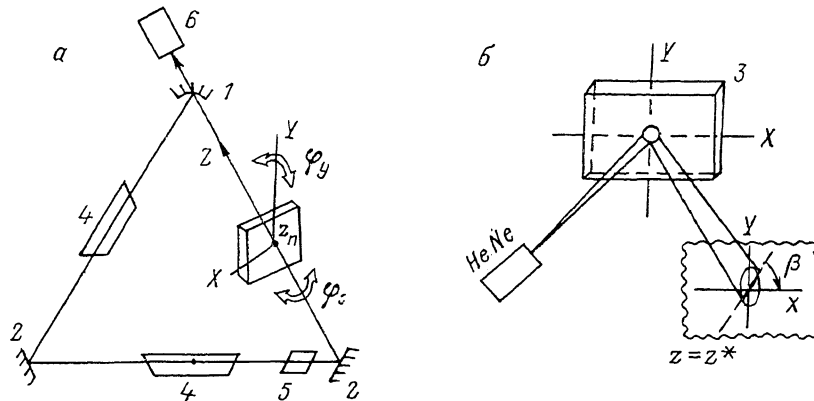


Рис. 1.

регистрировались изменения интенсивности генерации  $J$  при поворотах пластиинки 3 по углу места  $\varphi_y$  в плоскости  $YZ$  или по азимуту  $\varphi_x$  в плоскости  $XZ$ .

Внедрение пластиинки в резонатор лазера с небольшим усилением ( $\approx 5\%$  за проход) приводило в общем случае к срыву генерации из-за вносимых пластиинкой потерь, однако при нормальном падении ( $\psi=0$ ) и при некоторых других положениях пластиинки ( $\varphi_x, y \neq 0$ )

были обнаружены резонансы просветления лазера (из-за уменьшения вносимых потерь), количество которых и спад огибающей интенсивности генерации в максимумах зависели от величины и ориентации клина пластиинки. Это видно на рис. 2, где на примере пластиинки  $l=1.9$  мм с клином  $\chi \approx 1'$  приведены типичные зависимости нормированной интенсивности генерации в максимумах резонансов просветления  $J_p$  от номера резонанса  $m$  при повороте пластиинки в азимутальной плоскости на угол  $\varphi_x$  для двух ориентаций клина: ориентированного параллельно плоскости падения ( $\Psi_{\perp}=0$ , кружки) либо перпендикулярного ей ( $\Psi_{\perp}=\pi/2$ , точки). На рис. 2 также крестиками показана зависимость углов поворота  $\varphi_p(m)$ , соответствующих резонансам просветления пластиинки. Она оказалась практически одинаковой для обеих ориентаций клина, а угловое расстояние между соседними резонансами пропорционально  $m^{-1/2}$ . При повороте клина в плоскости  $XY$  в диапазоне от  $\Psi_{\perp}=0$  до  $\Psi_{\perp}=\pi/2$  наблюдавшаяся сильная асимметрия действия клина по углу  $\varphi_x$  постепенно уменьшается, так что при положении клина  $\Psi_{\perp}=\pi/2$ , «скрещенном» с плоскостью падения пучка, спад  $(J_p(m))/J_{\max}$  симметричен относительно  $m=0$  ( $\varphi_x=0$ ). Для проверки предположения о влиянии клина на величину и знак

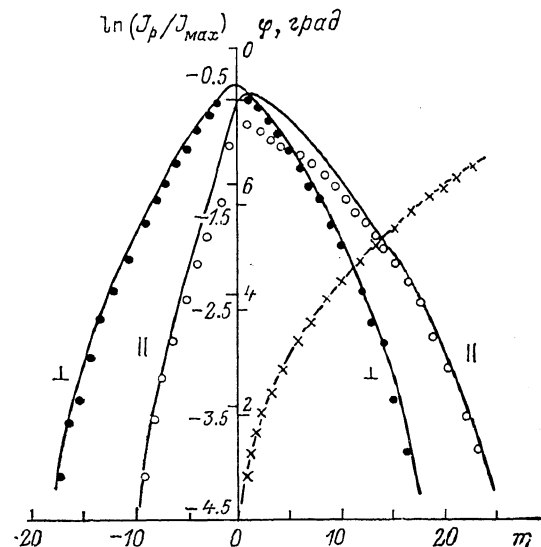


Рис. 2.

величины и знака спада интенсивности генерации в максимумах резонансов просветления. Она оказалась практически одинаковой для обеих ориентаций клина, а угловое расстояние между соседними резонансами пропорционально  $m^{-1/2}$ . При повороте клина в плоскости  $XY$  в диапазоне от  $\Psi_{\perp}=0$  до  $\Psi_{\perp}=\pi/2$  наблюдавшаяся сильная асимметрия действия клина по углу  $\varphi_x$  постепенно уменьшается, так что при положении клина  $\Psi_{\perp}=\pi/2$ , «скрещенном» с плоскостью падения пучка, спад  $(J_p(m))/J_{\max}$  симметричен относительно  $m=0$  ( $\varphi_x=0$ ). Для проверки предположения о влиянии клина на величину и знак

угловой асимметрии резонансов пластинка переворачивалась на  $180^\circ$  вокруг оси  $Z$  либо оси  $Y$ , при этом знак угловой асимметрии резонансов просветления изменялся на противоположный.

Изучение корреляции влияния клина и угла поворота пластины на пропускание гауссова пучка проводилось в специальных экспериментах в свободном пространстве (рис. 1, б) по наблюдению темной разделительной полосы в картине интерференции световых пучков, отраженных пластиною с клином, при освещении ее гауссовым пучком от линейного Не—Не лазера. На рис. 3 приведены зависимости угла  $\beta$  наклона к оси  $X$  этой полосы от угла  $\varphi_x$  поворота пластины для случая клина в плоскости  $YZ$  для двух положений пластины (1 —  $z_n=500$ , 2 — 1000 мм). Изменения  $\beta$  определяются, очевидно, соотношением

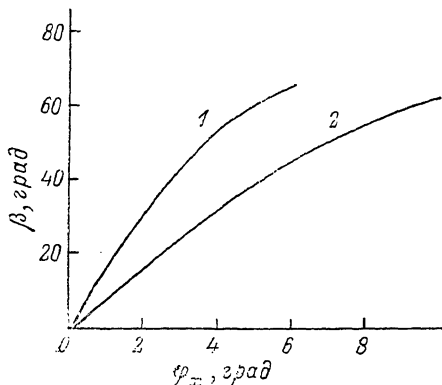


Рис. 3.

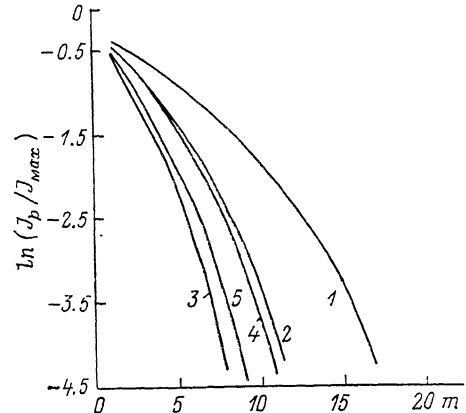


Рис. 4.

двух факторов: расщеплением отраженных пучков в веер в плоскости  $YZ$  вследствие действия клина и расслоением их в гребенку в плоскости  $XZ$  ввиду наклонного падения. Вследствие этого  $\beta=0$  при  $\varphi_x=0$  и  $\beta$  увеличивается с ростом  $\varphi_x$ . С другой стороны,  $\beta$  возрастает с ростом  $z_n$  и практически не зависит от положения плоскости наблюдения  $z=z^*$  на оси  $Z$ . Подобные зависимости были обнаружены и в экспериментах в кольцевом лазере: с клином, лежащим в плоскости падения, величина угловой асимметрии увеличивалась с ростом  $z_n$  от 270 до 400 мм.

Результаты сравнительного анализа изменения характера спада ( $J_p(m)/J_{\max}$ ) при наклонах пластины для различных толщин пластинок, плоскостей ее поворота и типа поперечной моды представлены на рис. 4 (для удобства были выбраны пластины без клина). Кривые 1—3 для огибающей  $\ln(J_p(m)/J_{\max})$  соответствуют поворотам пластины в плоскости  $XZ$  при генерации моды  $TEM_{00}$  для  $l=1.9, 4$  и  $5.94$  мм; кривая 4 получена для  $l=4$  мм при генерации моды  $TEM_{10}$ ; кривая 5 соответствует поворотам пластины  $l=5.94$  мм на углы  $\varphi_y$  в плоскости  $YZ$  при генерации моды  $TEM_{00}$ .

### Прохождение и отражение эллиптического гауссова пучка в диэлектрической пластиинке с клином

Запишем нормированный в поперечном сечении  $XY$  эллиптический эрмит-гауссов пучок, распространяющийся в направлении оси  $Z$  в виде

$$E_{MN}(x, y, z) = e \mathcal{E} \mathfrak{M}_{MN}(x, y, z);$$

$$\mathfrak{M}_{MN} = \frac{e^{jkz}}{\sqrt{\pi w_x w_y}} \exp \left\{ -\frac{1}{2} (x^2 \cdot p_x + y^2 \cdot p_y) \right\} H_M \left( \frac{x}{w_x} \right) \cdot H_N \left( \frac{y}{w_y} \right);$$

$$p_t = \frac{1}{w_t^2} - j \frac{k}{R_t}; \quad w_t = w_{0t} \left[ 1 + \left( \frac{z}{kw_{0t}^2} \right)^2 \right]^{1/2}; \quad R_t = z + \frac{(kw_{0t}^2)^2}{z}; \quad (t = x, y), \quad (1)$$

где  $H_{\lambda, k}$  — нормированные полиномы Эрмита;  $k = (2\pi)/\lambda$  — волновое число;  $\lambda$  — длина волны;  $\mathcal{E}$  — амплитуда;  $w_{st}$  и  $R_t$  — полуширины пучка в шейке кастуки и радиусы кривизны фазового фронта пучка в плоскостях  $XZ$  и  $YZ$ .

Пусть пучок (1) падает на пластиинку с малым углом клина  $\chi \ll 1$ , ориентированным в плоскости  $Z$ , расположенной под углом  $\Psi$  к плоскости  $XZ$  (рис. 5, а). Нормаль к биссекторной плоскости клина  $\nu$  может составлять небольшой угол  $\varphi \ll 1$  с осью  $Z$  в плоскости  $QZ$ , которая расположена под углом  $\alpha$  к плоскости  $XZ$ .

Вследствие клиновидности пластинки в плоскости  $\zeta Z$  прошедший пластинку эрмит-гауссов пучок расщепляется в веер пучков  $E^i$  ( $i=0, 1, \dots$ ), распространяющихся под углами  $\chi_i$  к оси  $Z$ , а при наклонном падении они сдвигаются на  $\Delta_i(\varphi)$  вдоль  $q$  (аналогично и для отраженного света) (рис. 5, б)

$$\mathbf{E}_{MN}^i(x_i, y_i, z_i) = \mathbf{e}_i \mathcal{E}_i \mathfrak{M}_{MN}(\mathbf{r}_i) e^{j\theta_i}; \quad \int_{-\infty}^{+\infty} \int_{-\infty}^{+\infty} |\mathbf{E}_{MN}^i|^2 dx_i dy_i = |\mathcal{E}_i|^2 = I_{MN}^i, \quad (2)$$

$\theta_i$  — дополнительные набеги фазы, приобретенные пучками при прохождении пластиинки в одну сторону;  $I^{ii}$  — интенсивности пучков.

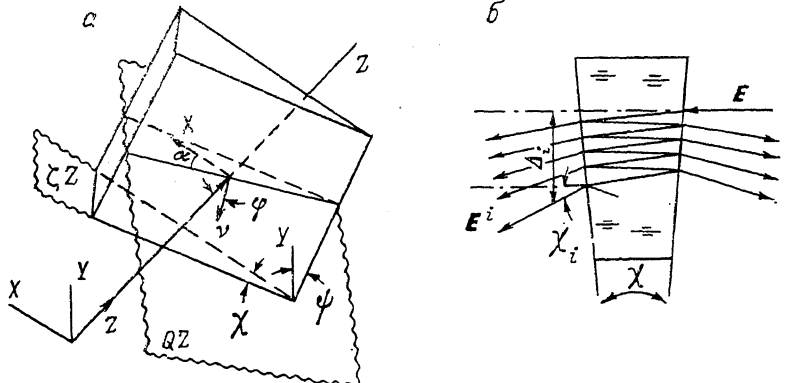


Рис. 5.

Переходя от собственных координатных систем пучков  $r_i(x_i, y_i, z_i)$ , зависящих от  $\varphi$  и  $\chi_i$ , к координатам падающего пучка  $r(x, y, z)$ , получим в интенсивности проходящего света  $I$  перекрестный член  $I^{ik}$  от пространственной интерференции пучков  $E^i, E^k$  ( $i \neq k = 0, 1, \dots$ ) в виде

$$I_{MN}^{ik}(\varphi) = 2 \operatorname{Re} \left[ \int_{-\infty}^{+\infty} \int_{-\infty}^{+\infty} \mathbf{E}^i \mathbf{E}^{k*} dx dy \right] =$$

$$= 2\mathcal{E}_i \mathcal{E}_k \cos \theta_{ik} \exp \left\{ -W_{ik}^{(x)} - W_{ik}^{(y)} \right\} \lambda_{ik}^{(x)}(M) \lambda_{ik}^{(y)}(N);$$

$$W_{ik}^{(t)} = \frac{1}{4w_{0t}^2} \left\{ [(\Delta_{ti} - \Delta_{tk}) - z_n(\chi_{ti} - \chi_{tk})]^2 + (kw_{0t}^2)^2 (\chi_{ti} - \chi_{tk})^2 \right\} \quad (t = x, y);$$

$$\theta_{ik} = \theta_i - \theta_k; \quad \lambda_{ik}^{(t)}(s) = \sum_{\mu=0}^s \frac{(-1)^\mu}{\mu!} C_s^\mu (2W_{ik}^{(t)})^\mu;$$

$$\chi_{(x,y)i} = \chi_i \cdot \begin{cases} \cos \Psi, \\ \sin \Psi, \end{cases}$$

$$\Delta_{(x,y)i} = \Delta_i(\varphi) \begin{cases} \cos \alpha, \\ \sin \alpha, \end{cases}$$

(3)

$z_n$  — расстояние от шейки пучка до пластиинки.

Вследствие  $\Delta_i \chi_i \ll \lambda$  в  $\theta_{ik}$  в (3) не учтены малые изменения оптических путей пучков в пластинке, обусловленные клином, по сравнению с плоскопараллельной пластинкой. Как следует из (3), действие угла поворота пластинки  $\varphi$  и клина  $\chi$  независимы лишь тогда, когда они расположены вдоль различных осей астигматизма падающего пучка. В этом случае влияние поворота  $\varphi$  определяется расслоением пучков  $\Delta_{it} - \Delta_{ik}$  в масштабе размера каустики в шейке  $w_{0t}$ , а отнюдь не в плоскости  $z=z_n$ , где находится пластинка. Влияние клина, напротив, измеряется в масштабе размера каустики в плоскости  $z=z_n$ .

Запишем для прошедших пучков в приближении  $\chi \ll \varphi \ll 1$

$$\mathcal{E}_i = (1 - \rho^2) \rho^{2i} \mathcal{E}; \quad \theta_i = \theta (1 + 2i); \quad \Delta_i = \Delta (-1 + 2i); \quad \chi_i = -\chi + n(1 + 2i), \quad (4)$$

где  $\rho^2 = ((1-n)/(1+n))^2$  — энергетический коэффициент отражения пучка от границы раздела,  $n$  — показатель преломления.

Таким образом, из (3), (4)

$$I_{MN}^k(\varphi) = 2\mathcal{E}^2 (1 - \rho^2)^2 \rho^{2(i+k)} \cos(2\theta(k-i)) \exp\{- (k-i)^2 (\tau_x^2 + \tau_y^2)\} L_{MN}^k;$$

$$\tau_x^2 = \left( \frac{\Delta \cos \alpha - z_n n \chi \cos \Psi}{w_{0x}} \right)^2 + (kw_{0x} n \chi)^2 \cos^2 \Psi;$$

$$\tau_y^2 = \left( \frac{\Delta \sin \alpha - z_n n \chi \sin \Psi}{w_{0y}} \right)^2 + (kw_{0y} n \chi)^2 \sin^2 \Psi;$$

$$L_{MN}^k = \lambda_{ik}^{(x)}(M) \cdot \lambda_{ik}^{(y)}(N); \quad \lambda_{ik}^{(t)}(s) = \sum_{\mu=0}^s \frac{(-1)^\mu}{\mu!} C_s^\mu ((k-i)^2 \cdot 2\tau_i^2)^\mu. \quad (5)$$

В частности, полная интенсивность прошедшего света для моды  $TEM_{00}$

$$I_{00}(\varphi) = \sum_{i,k=0}^{\infty} I_{00}^{ik} = \left( \frac{1 - \rho^2}{1 + \rho^2} \right) \left[ 1 + 2 \sum_{q=0}^{\infty} \rho^{2q} e^{- (\tau_x^2 + \tau_y^2) q^2} \right].$$

### Сравнение экспериментальных и теоретических результатов

Запишем нормированную интенсивность генерации моды на центре дощипровской линии с усилением за проход  $x$  в рамках балансных уравнений [4], представляя потери, создаваемые пластинкой в резонаторе лазера за проход, в виде добавки  $\epsilon_n$  к собственным потерям резонатора  $\epsilon_0$

$$\frac{J}{J_{\max}} = \frac{(z/(\epsilon_0 + \epsilon_n))^2 - 1}{z/(\epsilon_0)^2 - 1}. \quad (6)$$

Учитывая, что для прозрачных диэлектриков в оптическом диапазоне при  $\varphi \ll 1$   $\rho^2 \approx 4 \cdot 10^{-2} \ll 1$ , проанализируем (5), ограничиваясь приближением двухлучевой интерференции ( $i, k=0, 1$ ). Углы резонансного просветления пластинки соответствуют условию  $\theta = \theta_p = m\pi$  ( $m=0, 1, \dots$ ), т. е. условию целого числа полуволни, укладывающихся на пути прохода луча между двумя гранями

$$\frac{\theta_p}{\pi} = \frac{l(1 - n(n^2 - \sin^2 \varphi)^{-1/2})}{\lambda/2n} + O(\chi) \approx \frac{l\varphi_p^2}{n\lambda}; \quad \varphi_p = \pm \sqrt{\frac{m\lambda l}{l}}, \quad (7)$$

а соответствующий углам  $\varphi_p$  сдвиг лучей  $\Delta_p$  в гребенке (рис. 5, б)

$$\Delta_p = l \sin \varphi_p \cdot (n^2 - \sin^2 \varphi_p)^{-1/2} = \frac{l\varphi_p}{n} = \pm \sqrt{\frac{m\lambda l}{n}}. \quad (8)$$

Подставляя (7), (8) в (5), получим в резонансах просветления  $I_p$  ( $m = |E_{MN}|^2 T(m)$  для частного случая  $\alpha=0$  (поворота в плоскости  $XZ$ ):

$$T_{\parallel}(m) = 1 - 2\rho^2 \left( 1 - L_{MN}^k \exp \left\{ - \left( \pm \sqrt{\frac{m\lambda l}{n}} - z_n n \chi \right)^2 / w_{0x}^2 - (kw_{0x} n \chi)^2 \right\} \right);$$

$$T_{\perp}(m) = 1 - 2\rho^2 \left( 1 - L_{MN}^k \exp \left\{ - \frac{m\lambda l}{nw_{0y}^2} - \left( \frac{z_n n \chi}{w_{0x}} \right)^2 - (kw_{0y} n \chi)^2 \right\} \right), \quad (9)$$

где  $T_{\perp, \perp}(m)$  имеет смысл энергетического коэффициента пропускания гауссова пучка прозрачной стеклянной пластинкой в резонансах просветления, а значения  $\parallel$  и  $\perp$  обозначают случаи ориентации клина параллельно плоскости падения ( $\Psi_{\parallel} = \alpha$ ) и перпендикулярно ей ( $\Psi_{\perp} = \alpha + \pi/2$ ). Таким образом,

$$\frac{J_p(m)}{J_{\max}} = \frac{[z/(\epsilon_0 + \epsilon_p(m))]^2 - 1}{(z/\epsilon_0)^2 - 1}; \quad \epsilon_p(m) = 1 - T(m). \quad (10)$$

Из (9), (10) видно, что при наличии клина ( $\chi \neq 0$ ) существует пространственная асимметрия по  $\varphi$  потерь, вносимых пластинкой, связанная с компенсирующим (знак  $+$ ) или добавочным (знак  $-$ ) действием клина по отношению к расщеплению пучка, вносимого наклонной пластинкой, причем знак асимметрии зависит от направления острия клина в плоскости падения. Когда же клин «скрещен» с плоскостью поворота ( $\Psi_{\perp} = \pi/2 + \alpha$ ), действия пластинки и клина независимы и пространственная асимметрия потерь исчезает. На рис. 2 сплошными линиями приведены расчетные зависимости огибающей  $\ln(J_p(m)/J_{\max})$  для моды  $TEM_{00}$  по (9), (10) для  $l=1.9$  мм при  $n=1.5$ ,  $\chi=0.82 \cdot 10^{-4}$ . Используемые для расчета величины усиления  $\kappa=0.0472$  и собственных потерь резонатора  $\epsilon_0=0.0220$  определялись в специальных экспериментах по методике, описанной в [4]. Как видно из рис. 2, наблюдается хорошее качественное согласие экспериментальных и теоретических результатов. Зависимость углов резонансного просветления пластинки от номера  $m$  и толщины  $l$  (пунктир на рис. 2) хорошо количественно описывается в рамках (7). Зависимость  $\beta$  ( $\varphi_x$ ) на рис. 3 для пластинки  $d=1.9$  мм,  $\chi=0.82 \cdot 10^{-4}$  в свободном пространстве характеризует корреляцию действия клина и действия поворота пластинки в случае  $\Psi_{\perp}$  в отраженном гауссовом пучке и может быть аппроксимирована зависимостью  $\operatorname{tg} \beta = -(l\varphi)/(z_n \chi n^2)$ . Это показывает, что здесь действие клина определяется расстоянием  $z_n$  и не зависит от плоскости наблюдения  $z^*$  подобно тому, как это обнаружено в экспериментах в КГЛ, несмотря на то, что в данном случае речь идет о поперечном распределении по  $X$ ,  $Y$  интенсивности в пучке, а не об интегральном коэффициенте отражения (пропускания (9)).

Как видно из (9), (10), без учета интерференции пучков в пластинке относительное превышение усиления над потерями  $(z/(\epsilon_0 + \epsilon_{\perp})) \ll 1$  ( $\epsilon_{\perp}=2\rho^2$ ), так что генерация в КГЛ невозможна. Наблюдаемое в экспериментах влияние ориентации плоскости поворота пластинки на крутизну спада  $\ln(J_p(m)/J_{\max})$  (рис. 4) подтверждается полученной в (5) зависимостью действия пластинки от полуширины шейки каустики эллиптического гауссова пучка в плоскости падения. Такое проявление астигматизма кольцевого резонатора вполне согласуется с расчетом по (9), (10), где при переходе  $\varphi_x \rightarrow \varphi_y$  следует провести замену  $w_{0x} \approx w_{0y}$ . Наконец, соотношение крутизны спада  $\ln(J_p(m)/J_{\max})$  для различных поперечных мод объясняется тем, что степень перекрытия интерферирующих пучков для моды  $TEM_{10}$  оказывается меньше, чем для основной моды ( $L_{10} < L_{00}$  в (9), (10)), так что вносимые пластинкой потери для моды  $TEM_{10}$  больше.

Таким образом, предложенная теоретическая интерпретация потерь на отражение (пропускание) диэлектрической пластинкой эллиптического гауссова пучка удовлетворительно объясняет экспериментально наблюдаемое влияние стеклянной пластинки с клином в резонаторе лазера на интенсивность генерации. Это показывает, в частности, неправомерность подхода в [1], где не учитывались интерференционные явления в клине, и неадекватность приближения плоского фазового фронта в [2] для оценки влияния клина на пропускание гауссова пучка при помещении пластинки вне шейки.

### Список литературы

- [1] Janičićević I. // Год. зб. Физ. Скопје. 1986. Т. 36. П. 31.
- [2] Бубличенко И. А., Лебедев А. В., Попов А. И. // ЖПС. 1987. Т. 46. № 6. С. 991–995.
- [3] Нефедов Е. И., Сивов А. Н. // РиЭ. 1974. Т. 19. № 4. С. 824–828.
- [4] Смирнов В. Н., Строговский Г. А. // Опт. и спектр. 1986. Т. 60. Вып. 5. С. 1300–1307.